

(14) CO₂との反応によるコークス劣化度の予測—高炉用コークスのCO₂反応による劣化(III)—

新日鐵 製鉄研究センター ○原口 博, 西 徹, 奥原捷晃

I 緒言: コークスのCO₂反応劣化機構を解明し、これに基づいて、高炉内におけるコークスのCO₂による反応劣化予測モデルを開発するため、既報^{1) 2)}に続き検討を行った。今回は高温反応性試験装置を用いて^{1) 2)}、1500℃までの範囲でCO₂反応実験を行い、高炉内反応条件下でのコークスのCO₂反応後強度を予測するための数式モデルについて検討したので報告する。

II 実験方法

- 供試コークス: Table 1に示すように、DI₁₅¹⁵⁰ 84~87, CRI 19~35%と大幅に異なる4種類のコークスを用いた。
- 実験条件: 高温反応性試験装置を用い、20±1mmに破碎したサンプル(200g)を1100~1500℃でCO₂と反応させた。CO₂分圧0.1~1.0 atmで、反応量を20~40%の範囲とするため、反応時間を0.25~4.0 Hに変化させた。

III 結果および検討

- 1100~1500℃の範囲では、反応量(RI)が増加すると反応による劣化度の指標I₁₀⁶⁰⁰は低下するが、反応温度が高くなる程、RI增加量に対するI₁₀⁶⁰⁰の低下幅は小さくなる傾向が認められる(Fig. 1)。

- Fig. 2に示す単粒子コークスの反応モデル³⁾を用いて解析し、A, B, C部の反応量を求めた。その結果、Fig. 3に示すように、B部の反応量(RI_B)とI₁₀⁶⁰⁰は反応温度に関係なく、I₁₀⁶⁰⁰ = b - a · RI_B(a, bは定数)の1次関数で表示できることが明らかになった(ただし、RI = RI_A + RI_B + RI_C)。

- RIとRI_Bとは、RI_B = C · RIの相関があるが、反応温度が高くなるほどCの値は小さくなる傾向が認められる(Fig. 4)。したがって、RI_BはRIと反応温度(T)より、RI_B = (d/T - e) RIの相関式で求められる(c, d, eは定数)。

4. CO₂との反応によるコークス劣化度の推定式

- 高炉内のある温度範囲(T_i:絶対温度)の反応量(RI_i)が明らかになると、RI_{Bi}はCSRとCRIから(1)式で推定できる。

$$RI_{Bi} = \{ (5490 - 54CSR) / T_i - (0.042CRI - 0.232) \} RI_i \quad \dots \dots (1)$$

- CO₂との反応後のI₁₀⁶⁰⁰は(1)式より求めたRI_{Bi}と装入コークスのDI₁₅¹⁵⁰より(2)式から推定できる。I₁₀⁶⁰⁰ = (1.1 DI₁₅¹⁵⁰ - 8.0) - 1.58 RI_{Bi} \dots \dots (2)

高炉内は昇温反応条件であるので、なるべく狭い温度域のRI_iからRI_{Bi}を求め、RI_{Bi}の積算値($\sum RI_{Bi}$)よりI₁₀⁶⁰⁰を求める。

- 高温反応性試験装置により昇温反応条件下で得られたI₁₀⁶⁰⁰の測定値とRIの測定値から本モデルにより求めたI₁₀⁶⁰⁰の計算値は良く一致することが明らかになった(Fig. 5)。

IV 結言: コークスのCO₂反応劣化機構をもとに高炉内でのCO₂反応条件下でのコークスの劣化挙動を推定する数式モデルを開発した。今後は高炉内条件下での反応速度式の導入およびアルカリの影響についても検討する予定である。

文献 1) 原口博, 西徹, 美浦義明: 鉄と鋼, 68 (1982), S 746

2) 原口博, 西徹, 奥原捷晃: 鉄と鋼, 70 (1984), S 749

3) 西徹, 原口博, 美浦義明: 鉄と鋼, 70 (1984), P 43

Table 1 Properties of cokes

Sample	DI ₁₅ ¹⁵⁰	CRI	CSR	JIS (AG) Reactivity	I ₁₀ ⁶⁰⁰
I	85.3	26.8	61.5	25.3	86.9
II	83.7	35.1	52.7	54.0	85.2
III	84.6	29.3	60.6	28.0	86.3
IV	87.3	18.6	75.3	9.5	89.5

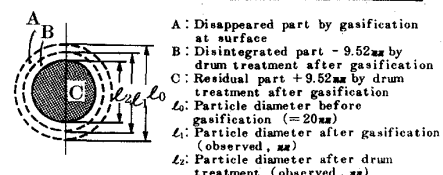
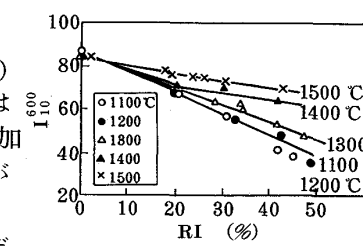
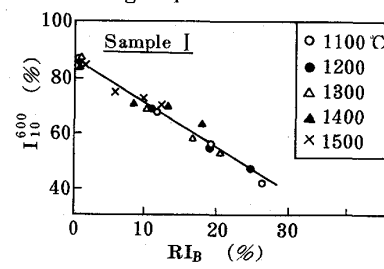
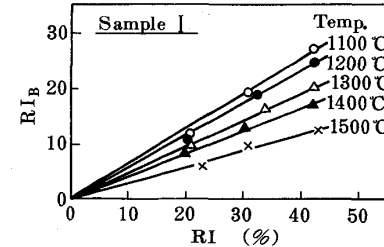
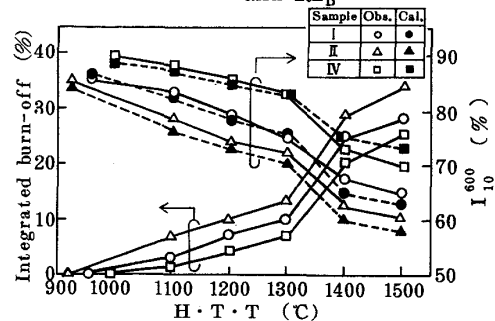


Fig. 2 Reaction model of a single particle coke

Fig. 1 Relation between RI and I₁₀⁶⁰⁰Fig. 3 Relation between RI_B and I₁₀⁶⁰⁰Fig. 4 Relation between RI and RI_BFig. 5 Comparison between the model calculation and observation for I₁₀⁶⁰⁰ at CO₂ gasification on heating